

HW8

Q1

(1)

本题不考虑图中存在负环的情况。

(1) 某同学在 Bellman-Ford 算法的基础上提出了一种基于队列的优化方案，并将其命名为“SPFA” (Shortest Path Faster Algorithm)，算法1给出了 SPFA 的伪代码：

Algorithm 1: Shortest Path Faster Algorithm

Input: $G = \langle V, E \rangle, w : E \rightarrow \mathbb{R}, s \in V$

```
1 INITIALIZE-SINGLE-SOURCE( $G, s$ );
2  $Q \leftarrow \{s\}$ ;
3 while  $Q \neq \emptyset$  do
4    $u \leftarrow \text{DEQUEUE}(Q)$ ;
5   foreach  $\langle u, v \rangle \in G.E$  do
6     if  $v$  can be relaxed by  $u$  then
7       RELAX( $u, v, w$ );
8       if  $v \notin Q$  then
9         ENQUEUE( $Q, v$ );
10      end
11    end
12  end
13 end
```

(1.1)

(1.1) 我们将第一次 while 循环过程称为“第一轮”，第一轮中入队节点出队的全过程称为“第二轮”，以此类推。记 s 到 v 的所有最短路径中，所含节点数最少的路径的节点数为 $\varphi(s, v)$ ，试证明： s 到 v 的最短路径的长度能够在不超过第 $\varphi(s, v) - 1$ 轮中被确定。

显然，此引理不仅直接导出了 SPFA 的正确性，同时也给出了 $O(|V||E|)$ 的最坏时间复杂度上界。

由数学归纳法，

当 $v = s$ 时， s 到 v 的最短路径长度能够在第1轮确定，此时 $\varphi(s, s) = 2$ ，结论成立

设 v 的所有前驱结点集合为 S ，假设 s 到 S 的任意结点 v' ，都有 s 到 v' 的最短路径的长度能够在不超过第 $\varphi(s, v') - 1$ 轮确定

对所有 $v' \rightarrow v$ 的边做一遍松弛操作，取能够更新的边对应 v' 的集合设为 S' ，此时确定了 s 到 v 的最短路径长度，设 s 经过 v' 到达 v 所含的节点数最少，由归纳假设知，第 $\varphi(s, v') - 1$ 轮已经确定了 s 到 v 的最短路径长度，边 $v' \rightarrow v$ 会在 $\varphi(s, v')$ 轮，或 $\varphi(s, v') - 1$ 轮中进行 relax，并确定 s 到 v 的最短路径长度

由 $\varphi(s, v') = \varphi(s, v) - 1$

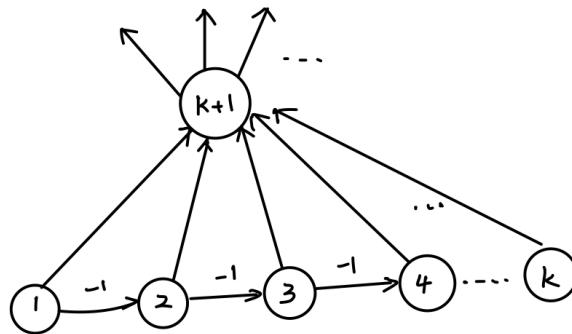
因此 s 到 v 的最短路径长度能够在不超过 $\varphi(s, v) - 1$ 轮中被确定

(1.2)

(*1.2) 尝试构造正权图列 $\{G_{n,m}\}, m \in [n - 1, \frac{n(n-1)}{2}]$ ，满足： $|V_{n,m}| = \Theta(n), |E_{n,m}| = \Theta(m)$ ，使得 SPFA 在 $G_{n,m}$ 上的运行时间 $T(n, m) = \Omega(nm)$

提示：参考形如图1的图，构造恰当的边权使得节点 t 入队 $\Theta(n)$ 次。

这一构造说明：对于正权图而言，SPFA 在最坏情况下的性能严格劣于 Dijkstra 算法。



取 $k = \frac{n}{2}$ ，对 $\text{source} = 1, 1 \rightarrow k + 1$ 先入队的情况下，支配节点 $k+1$ 会入队 k 次，也就是至少要做 k 轮循环遍历即 $\Theta(n)$ 轮，这时 $T(n, m) = \Omega(nm)$

(2)

(2) 某同学在 Dijkstra 算法的基础上提出了一种能够处理有负权的图的变种算法，其伪代码见算法2。

Algorithm 2: Reentrant Dijkstra Algorithm

Input: $G = \langle V, E \rangle, w : E \rightarrow \mathbb{R}, s \in V$

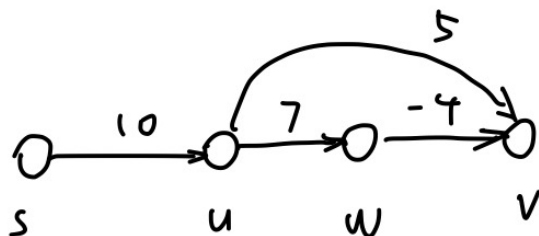
```
1 INITIALIZE-SINGLE-SOURCE( $G, s$ );
2  $S \leftarrow \emptyset$ ;
3  $Q \leftarrow G.V$ ;
4 while  $Q \neq \emptyset$  do
5    $u \leftarrow \text{EXTRACT-MIN}(Q)$ ;
6    $S \leftarrow S \cup \{u\}$ ;
7   foreach  $\langle u, v \rangle \in G.E$  do
8     if  $v$  can be relaxed by  $u$  then
9       RELAX( $u, v, w$ );
10      if  $v \notin S$  then
11        DECREASE-KEY( $Q, v, v.d$ );
12      else
13         $S \leftarrow S \setminus \{v\}$ ;
14        INSERT( $Q, v$ );
15      end
16    end
17  end
18 end
```

(2.1)

(2.1) 对比算法2与原始 Dijkstra 算法，简要说明为什么算法2能够处理有非正权边的图。

原始Dijkstra算法无法处理负权边的原因是，dijkstra是基于贪心的策略，如果已经找到 $u \rightarrow v$ 的最短边，会将 v 结点入队，这只是一种局部最优，若存在 $u \rightarrow w, w \rightarrow v$ ，虽然 $u \rightarrow w$ 的权值比 $u \rightarrow v$ 更大，但由于 $w \rightarrow v$ 可以是负权边，因此可能后者是一个全局最优的策略，这时候dijkstra算法跑不出正确的结果。

算法2，对所有可以被松弛边 $\langle u, v \rangle$ ，如果 v 已经入队时，重新入队，也就是 v 可以被再访问一遍，因此可以更新负权边



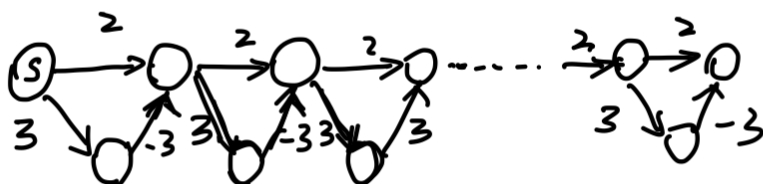
如上图，对于原始dijkstra，当 $u \rightarrow v$ 之后， v 被标记为访问，无法用 $w \rightarrow v$ 去更新，如果采用算法2，这时候 v 会重新入队，因此可以被更新。

(2.2)

(*2.2) 尝试构造图列 $\{G_n\}$ ，满足： $|V_n| = \Theta(n)$, $|E_n| = \Theta(n)$ ，使得算法2在 G_n 上的运行时间 $T(n) = \Omega(2^n)$

提示：考虑形如图2的图，构造恰当的边权使得算法运行过程中出现大量“回溯”。

这一构造说明：对于允许有非正权边的图，算法2在最坏情况下的性能严格劣于 Bellman-Ford 算法。



所有有边权为2的边的顶顶点分别入队 $2, 4, 8, \dots, 2^{n-1}$ 次，因此 $T(n) = \Omega(2^n)$

Q2

(1)

给定图 $G = \langle V, E \rangle$ 以及深度优先森林 $G_\pi = \langle V, E_\pi \rangle$ ，记节点 v 在深度优先遍历中的发现时间戳为 $\text{dfn}[v]$ ， G_π 中以 v 为根的子树的节点集为 S_v ， S_v 中的节点经一条非树边可达的节点集为 T_v ， T_v 中可达 v 的节点集为 P_v 。
 定义： $\text{low}[v] = \min_{u \in \{v\} \cup P_v} \text{dfn}[u]$

(1) 本问中的深度优先遍历以这样的顺序进行：起始点为节点 1，每当有多个节点可供选择时，总是按照编号从小到大的顺序进行选择。

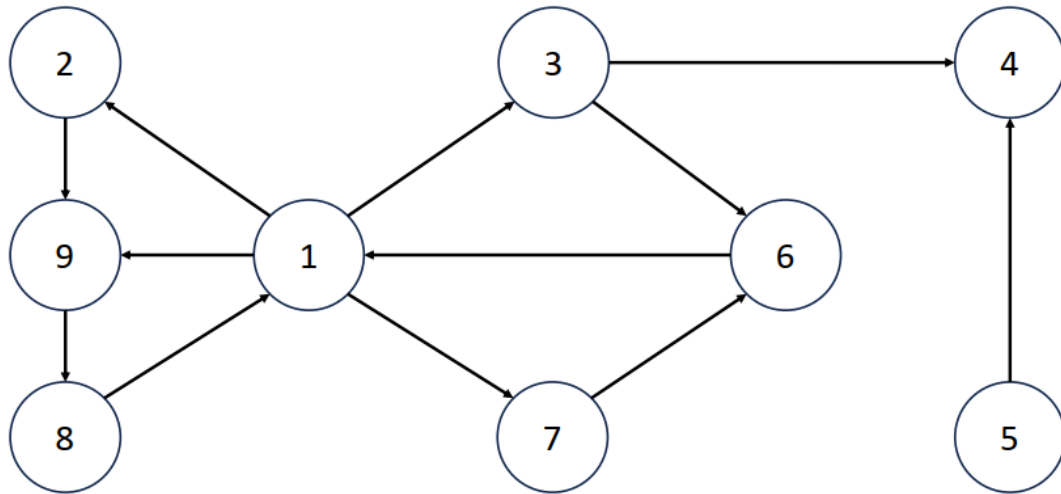


图 3: 示例图

(1.1)

对图3深度优先遍历

各结点的dfn值如下

$$\text{dfn}[1] = 1, \text{dfn}[2] = 2, \text{dfn}[3] = 5, \text{dfn}[4] = 6, \text{dfn}[5] = 9$$

$$\text{dfn}[6] = 7, \text{dfn}[7] = 8, \text{dfn}[8] = 4, \text{dfn}[9] = 3$$

各结点的low值如下

$$\text{low}[1] = 1, \text{low}[2] = 1, \text{low}[3] = 1, \text{low}[4] = 6, \text{low}[5] = 6$$

$$\text{low}[6] = 1, \text{low}[7] = 7, \text{low}[8] = 1, \text{low}[9] = 1$$

边的类型

$1 \rightarrow 2$: 树边, $1 \rightarrow 9$: 前向边, $1 \rightarrow 3$: 树边, $1 \rightarrow 7$: 树边

$2 \rightarrow 9$: 树边

$3 \rightarrow 6$: 树边, $3 \rightarrow 4$: 树边

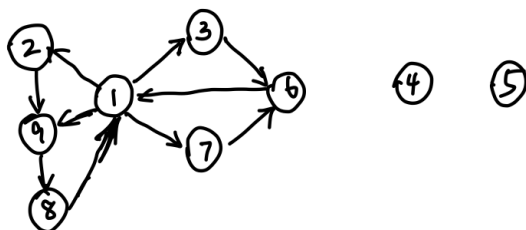
$5 \rightarrow 4$: 横向边

$6 \rightarrow 1$: 后向边

$7 \rightarrow 6$: 横向边

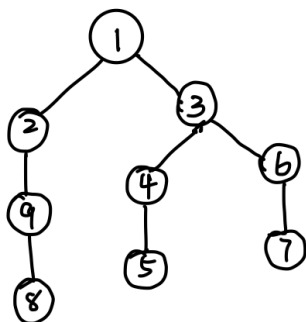
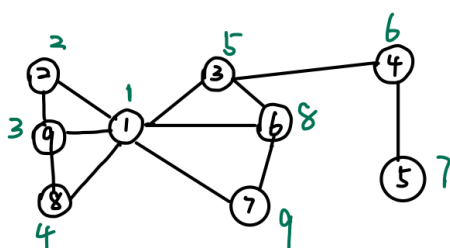
$8 \rightarrow 1$: 后向边

$9 \rightarrow 8$: 树边



(1.2)

(1.2) 将图3中的有向边改为无向边并进行深度优先遍历，标注出每条边属于哪种类型（树边、后向边、前向边、横向边），写出各节点的 dfn 值以及 low 值，找出图中的所有割点和桥。一个点（一条边）是割点（桥）是指：将它删除会导致图的连通分量数量增加。



dfn 如下

$dfn[1] = 1, dfn[2] = 2, dfn[3] = 5, dfn[4] = 6, dfn[5] = 7$

$dfn[6] = 8, dfn[7] = 9, dfn[8] = 4, dfn[9] = 3$

low 如下

$low[1] = 1, low[2] = 1, low[3] = 1, low[4] = 6, low[5] = 7$

$low[6] = 1, low[7] = 1, low[8] = 1, low[9] = 1$

树边:

$(1, 2), (2, 9), (9, 8), (1, 3), (3, 4), (4, 5), (3, 6), (6, 7)$

后向边:

$(1, 9), (1, 8), (1, 6), (1, 7)$

割点: 1, 3, 4

桥: $(3, 4), (4, 5)$

(2)

(*2) 设计线性最坏时间复杂度的算法计算所有节点的 low 值。

提示：对于有向图，需要使用某种数据结构维护“已被发现的节点中，有哪些可达当前节点”。

```
1 void tarjan(int u)
2 {
3     dfn[u] = low[u] = ++timestamp;
4     stk[++top] = u, in_stk[u] = true;
5     for(int i = h[u]; i != -1; i = ne[i])
6     {
7         int j = e[i];
8         if(!dfn[j])
9         {
10             tarjan(j);
11             low[u] = min(low[u], low[j]);
12         }
13         else if(in_stk[j])
14         {
15             low[u] = min(low[u], dfn[j]);
16         }
17     }
18 }
```

邻接表存储一个图，用stk模拟栈实现DFS，同时in_stk表示是否访问过

对于low数组，其值等于所有它所有可达结点中low和本身dfn最小的，因此可以在dfs的过程中回溯的时候更新

(3)

(*3)low 数组可用于解决许多与连通性有关的问题。

(*3.1) 简要描述如何利用 low 数组找出有向图中的所有强连通分量。

(*3.2) 简要描述如何利用 low 数组找出无向图中的所有割点。

(*3.3) 简要描述如何利用 low 数组找出无向图中的所有桥。

(3.1)

结点u搜索完毕后，如果 $low[u] = dfn[u]$ ，说明以u为根节点的所有子树上以及栈中在u内的元素构成了一个强联通分量

删除这些栈上元素，重复操作就可以得到所有强联通分量

```

1  if(dfn[u] == low[u])
2  {
3      int y;
4      ++scc_cnt;
5      do{
6          y = stk[top--];
7          in_stk[y] = false;
8          id[y] = scc_cnt;
9      }while(y != u)
10 }

```

(3.2)

对于一个结点 u ，子结点 v ，如果 $low(v) \geq dfn(u)$ ，说明 u 是一个割点

特殊的，对于根节点，如果存在两个以上的子结点，则 u 是割点

(3.3)

边 (u,v) 为桥当且仅当 $low(v) > dfn(u)$ ， (u, v) 是一个树边

Q3

本题中的“环”定义为“至少包含三条边的简单回路”，环的“大小”定义为边权和。本题仅考虑正权图的情况。

(2)

(2) 假设我们需要求出有向图中经过某个点的最小环。某同学注意到：任何一个经过 s 的环都是由一条入边 $\langle t, s \rangle$ 以及一条 s 到 t 的路径拼成的。

(2.1) 若图中不存在反向平行边，根据上述思路设计算法，并分析最坏时间复杂度。

(2.2) 若图中可能存在反向平行边，完善你在 (2.1) 中设计的算法，并分析最坏时间复杂度。

(2.1)

遍历所有 s 的入边 $\langle t, s \rangle$ ，对于每一条入边，由dijkstra算法求解 s 到 t 的最短路径，将入边权值与这条最短路径相加，求所有和中的最小值即可

dijkstra算法在用priority_queue优化的情况下时间复杂度是 $O(E \log V)$ 的，一共要遍历 $O(E)$ 次，因此时间复杂度为 $O(E^2 \log V)$

(2.2)

在每次调用dijkstra算法的时候，删除 $\langle t, s \rangle$ 再调用，求出相应的入边权和最短路径和之后取最小值

(1)

布尔适定性问题与图论问题具有紧密的联系。

若一个合取范式的每个子句中恰有 k 个不同的“文字”，则称其为“ k -CNF”。“文字”是指一个布尔变量或一个布尔变量的否定。 k -SAT 问题是指：给定一个 k -CNF，判断它是否可满足（即是否存在成真赋值）。

例如： $(x \vee y) \wedge (\neg y \vee z) \wedge (\neg z \vee \neg x)$ 是一个含有 3 个子句的 2-CNF， x, y, z 是变量， $x, \neg x, y, \neg y, z, \neg z$ 是文字。当 x 为真， y, z 为假时，整个公式为真，因此它是可满足的。

(1) 任意一个 2-CNF 都可以被转化为有向图的形式，假设子句数量为 n ，变量数量为 m 。

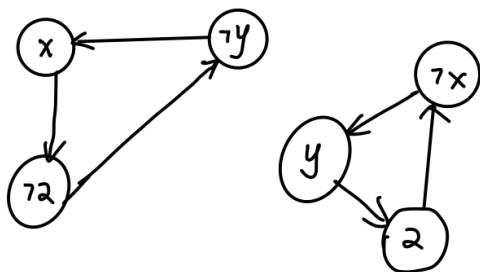
首先，对于每个子句 $p \vee q$ ，将其改写为 $(\neg p \rightarrow q) \wedge (\neg q \rightarrow p)$ ，这样就得到了一个由 $2n$ 个蕴含式相与所构成的布尔公式。

然后，建立一个含有 $2m$ 个节点的图，每个文字对应一个节点。对于前一步中每个子句 $p \rightarrow q$ ，在图中添加有向边 $\langle p, q \rangle$ ，当出现重边时，只保留其中一条。记所得到的有向图为 G 。

(1.1)

例 1.1 将上面给出的 2-CNF 转化为有向图。

(1.1) 将上面给出的 2-CNF 转化为有向图。



(2)

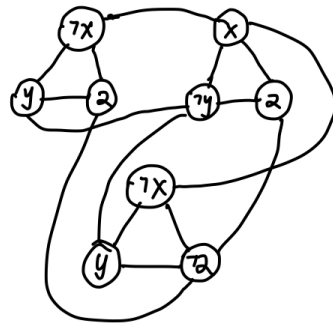
(2) 任意一个 3-CNF 都可以转化为无向图的形式，假设子句数量为 n 。

首先，为每个子句中的每个文字建立一个节点，并且将同一个子句中的文字相连，此时图中一共有 n 个“三角形”。

然后，将不同子句中互为否定的文字相连，例如图中如果有 3 个 x 和 5 个 $\neg x$ ，且它们所在的子句各不相同，那么它们之间一共要连 15 条边。

(2.1)

(2.1) 将 $(\neg x \vee y \vee z) \wedge (x \vee \neg y \vee z) \wedge (\neg x \vee y \vee \neg z)$ 转化为无向图。



(2.2)

(2.2) 找出 (2.1) 所得到的图中的 3 个节点，使得它们两两不相邻，并通过这 3 个点给出原公式的一个成真赋值。

以上转化事实上构成了 3-SAT 问题到独立集问题的多项式时间归约。

$(\neg x \vee y \vee z)$ 中的 $\neg x$

$(x \vee \neg y \vee z)$ 中的 $\neg y$

$(\neg x \vee y \vee \neg z)$ 中的 $\neg z$

令 $\neg x = \neg y = \neg z = 1$ ，即 $x = y = z = 0$

是原公式的一个成真赋值